

# BOLETÍN DIARIO OCEANOGRÁFICO

Año 5, N°299

Viernes 26 de octubre, 2018

El **Boletín Diario Oceanográfico** es un producto del Laboratorio de Hidro-Física Marina de la Dirección General de Investigaciones Oceanográficas y Cambio Climático (DGIOCC) del Instituto del Mar del Perú (IMARPE). Su propósito es informar de las variaciones de corto plazo de la temperatura superficial del mar peruano.

El boletín se sustenta en la red de estaciones costeras del IMARPE localizadas en Tumbes, Paita, San José, Chicama, Huanchaco, Chimbote, Huacho, Callao, Pisco, Matarani, Atico e Ilo. Complementariamente, ahora empleamos información de salinidad del mar así como del producto Temperatura Superficial del Mar y Análisis de Hielo Marino Operacional (OSTIA, en inglés) del Servicio Meteorológico del Reino Unido (UK

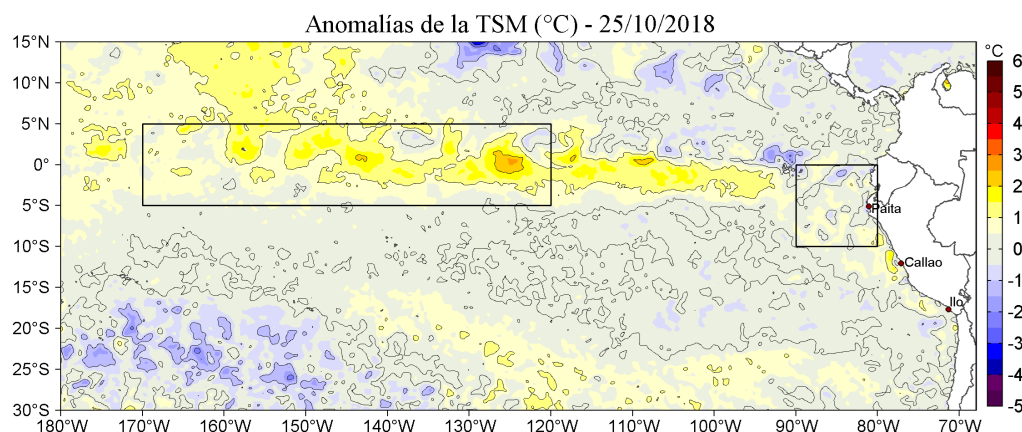
Met Office, 2012; Donlon et al, 2012) para el análisis de la temperatura superficial del mar y sus anomalías y disponible en el servicio <ftp://podaac-ftp.jpl.nasa.gov/allData/ghrsst/data/L4/GLOB/UKMO/OSTIA/>. Este producto de alta resolución (0.054° lat/lon, ~5 km) es el resultado de la combinación de los datos de cinco sensores satelitales y de información in situ registrada en boyas fijas y a la deriva, resultando un producto mejorado y con campos de temperatura adecuadamente suavizados.

*Productos y Servicios Oceanográficos*  
LHFM/AFIOF/DGIOCC/IMARPE  
Callao, 26 de octubre, 2018

## DIAGNÓSTICO

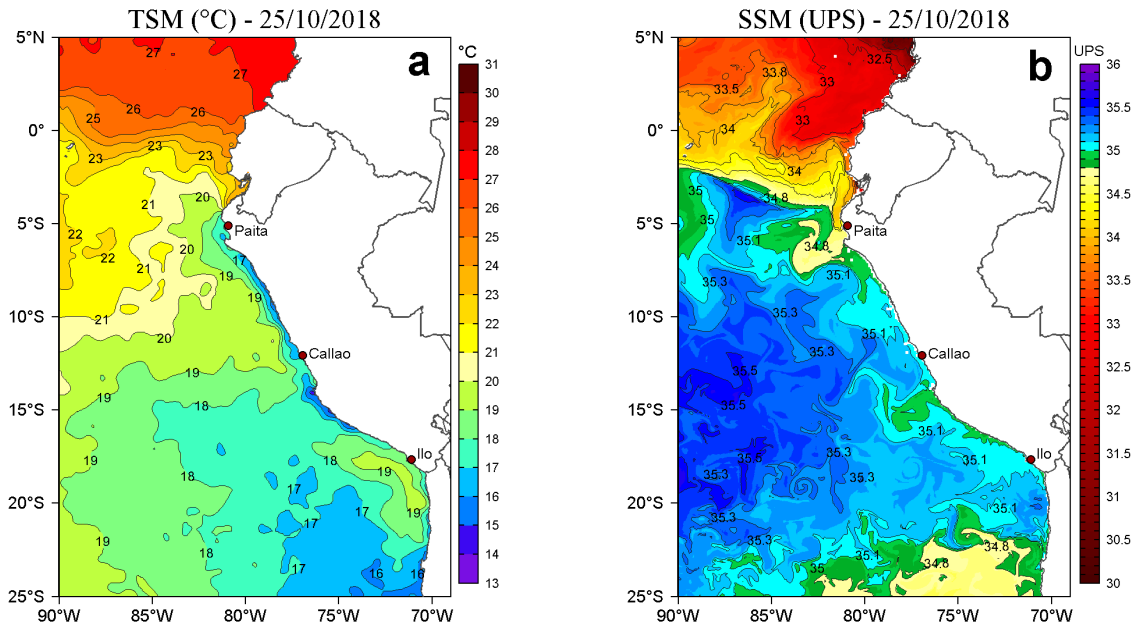
El calentamiento del mar en el sector ecuatorial oriental al Este de 90°W continuó declinando, actualmente se presentan condiciones casi normales entre  $\pm 0,5^{\circ}\text{C}$ . Al oeste de 90°W el calentamiento se mantiene y alcanza hasta  $+2,64^{\circ}\text{C}$  en  $124,83^{\circ}\text{W}$ . Frente al Perú, las anomalías térmicas han disminuido y oscilan entre  $\pm 1^{\circ}\text{C}$ , predominando condiciones casi normales. El mayor calentamiento del mar ( $+1,93^{\circ}\text{C}$ ) ocurrió frente a  $11^{\circ}\text{S}$ , el mayor enfriamiento ( $-1,16^{\circ}\text{C}$ ) al sur de Talara. En el litoral, las estaciones costeras de IMARPE registraron valores entre  $14,47^{\circ}\text{C}$  (Callao) y  $26,23^{\circ}\text{C}$  (Tumbes), mientras que las anomalías térmicas variaron entre  $-0,35^{\circ}\text{C}$  (Callao) y  $+0,65^{\circ}\text{C}$  (Chicama).

## I. Condiciones de macroescala

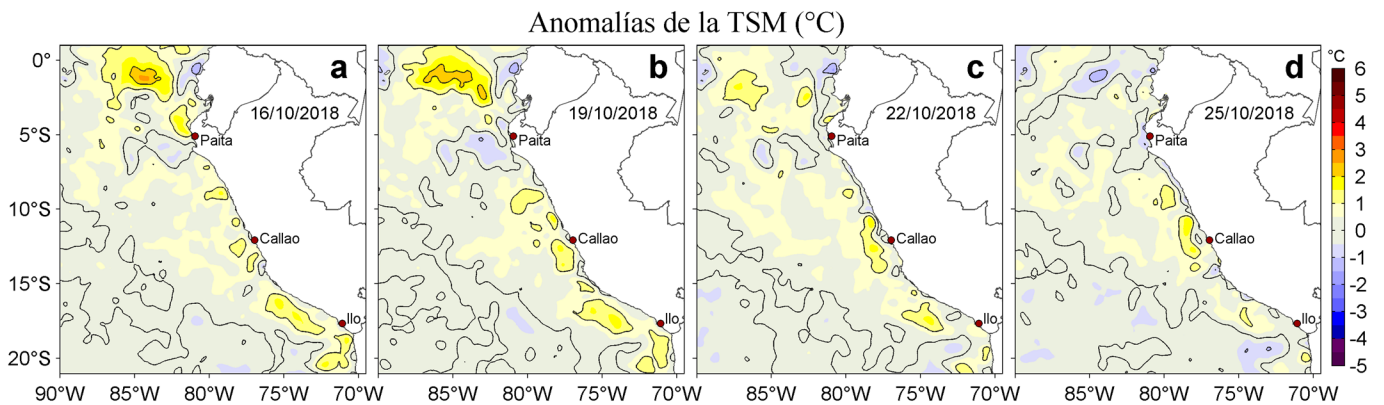


**Figura 1.** Anomalías de la temperatura superficial del mar (TSM,  $^{\circ}\text{C}$ ) en el océano Pacífico tropical. Las regiones Niño 3.4 ( $5^{\circ}\text{N}$ - $5^{\circ}\text{S}$ ,  $170^{\circ}\text{W}$ - $120^{\circ}\text{W}$ ) y Niño 1+2 ( $0^{\circ}$ - $10^{\circ}\text{S}$ ,  $90^{\circ}\text{W}$ - $80^{\circ}\text{W}$ ) en los sectores central y oriental del océano, respectivamente, están delimitadas con una línea de color negro. Climatología: 2007-2016. Datos: OSTIA-UKMO-L4-GLOB-v2.0 (UK Met Office, 2012; Donlon et al, 2012) disponible en <https://podaac.jpl.nasa.gov/dataset/OSTIA-UKMO-L4-GLOB-v2.0>). Procesamiento: LHFM/AFIOF/DGIOCC/IMARPE.

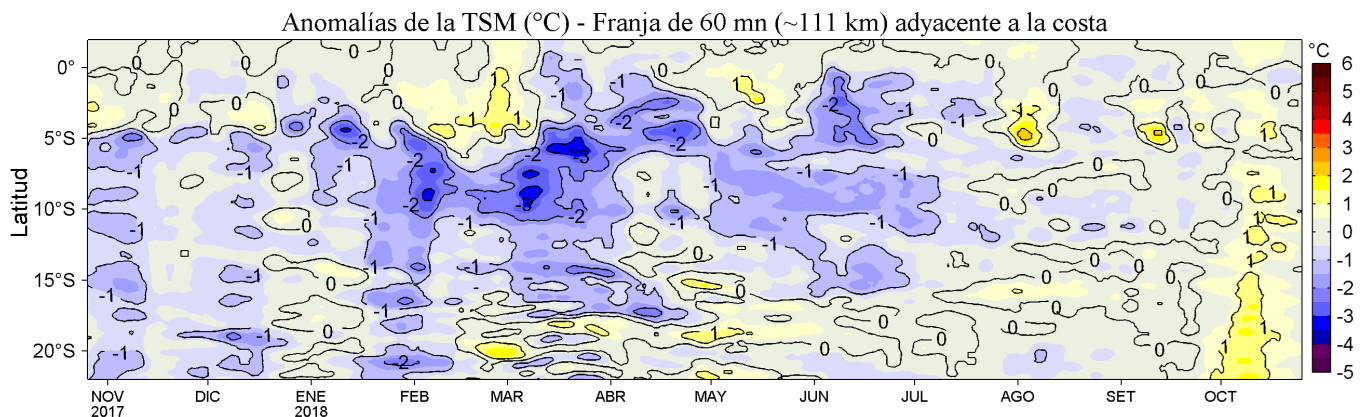
## II. Condiciones regionales y locales



**Figura 2.** a) Temperatura superficial del mar ( $^{\circ}\text{C}$ ) y b) Salinidad superficial del mar (SSM, UPS) para el 25 de octubre de 2018. Datos: OSTIA-UKMO-L4-GLOB-v2.0 (UK Met Office, 2012; Donlon et al, 2012) disponible en <https://podaac.jpl.nasa.gov/dataset/OSTIA-UKMO-L4-GLOB-v2.0>) para (a) y Hybrid Coordinate Ocean Model (HYCOM; Halliwell et al., 1998; 2000; Bleck, 2001) para (b). Procesamiento: LHF/AFIOF/DGIOCC/IMARPE.



**Figura 3.** Anomalías de la temperatura superficial del mar ( $^{\circ}\text{C}$ ) para los días: a) 16, b) 19, c) 22 y d) 25 de octubre de 2018. Las anomalías se calcularon respecto de la climatología para el periodo 2007-2016. Datos: OSTIA-UKMO-L4-GLOB-v2.0 (UK Met Office, 2012; Donlon et al, 2012). Procesamiento: LHF/AFIOF/DGIOCC/IMARPE.

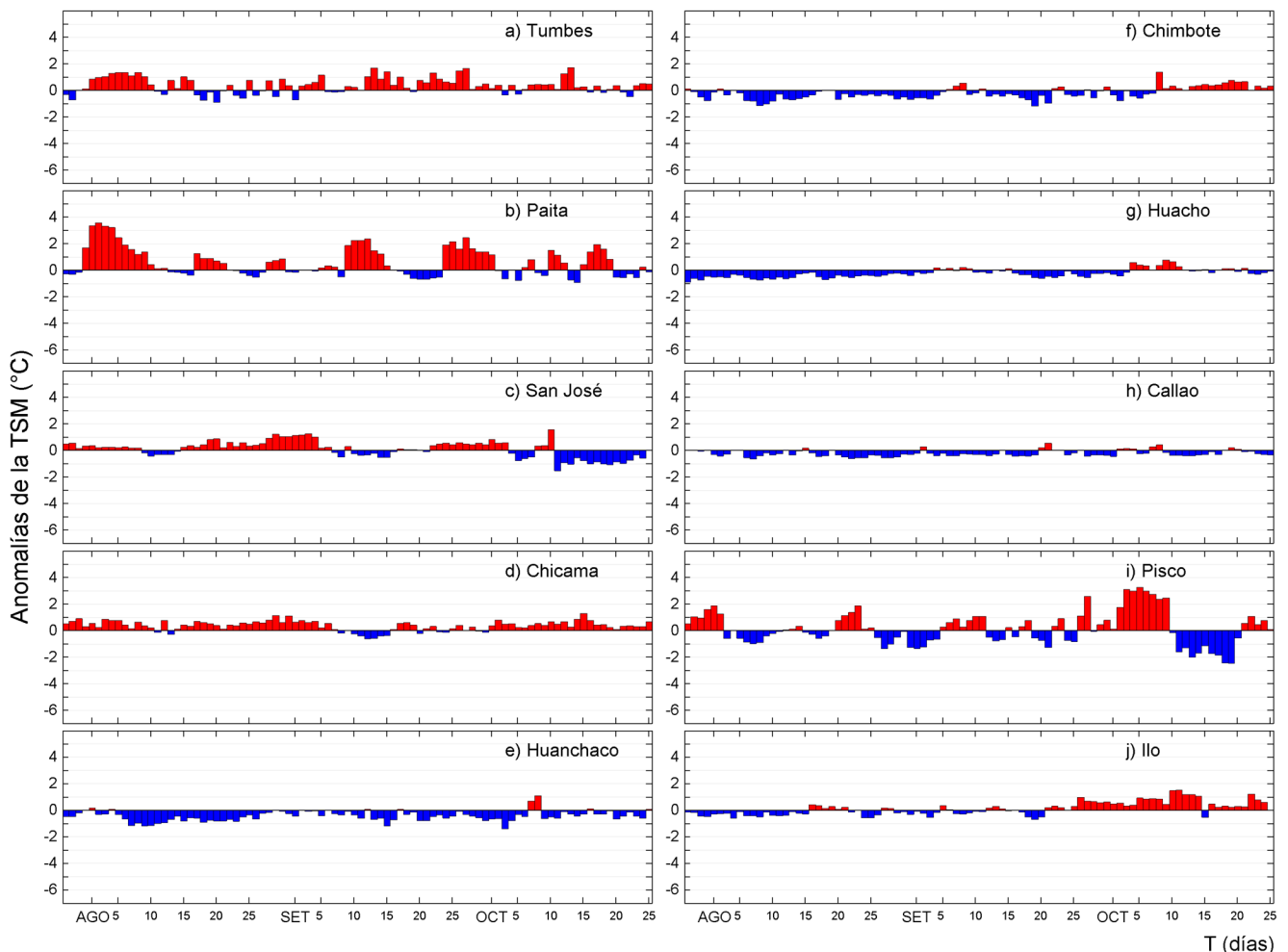


**Figura 4.** Variación promedio de las anomalías de la temperatura superficial del mar ( $^{\circ}\text{C}$ ) para una franja de 60 mn ( $\sim 111$  km) adyacente al litoral peruano para los últimos doce meses al 25 de octubre de 2018. Datos: OSTIA-UKMO-L4-GLOB-v2.0 (UK Met. Office, 2012; Donlon et al, 2012) disponible en <https://podaac.jpl.nasa.gov/dataset/OSTIA-UKMO-L4-GLOB-v2.0>). Las anomalías se calcularon con respecto al periodo 2007-2016. Procesamiento: LHF/AFIOF/DGIOCC/IMARPE.

### III. Condiciones de microescala

**Tabla 1.** Promedio diario de la temperatura superficial del mar (°C) y sus anomalías (°C) en las estaciones oceanográficas del IMARPE (círculos en color rojo en la figura a la derecha) para el 25 de octubre de 2018. Las anomalías térmicas se calcularon con respecto al promedio climatológico de cinco días (pentadas) y para el periodo que se indica en la segunda columna de la tabla, con excepción de las estaciones de Atico y Matarani, de reciente creación. Datos y

Estación	Climatología	T, °C	ΔT, °C
Tumbes	1985-2010	26,23	+0,49
Paita	1981-2010	17,30	-0,14
San José	1991-2010	18,97	+0,02
Chicama	1981-2010	16,47	+0,65
Huanchaco	2008-2016	16,73	+0,07
Chimbote	1981-2010	19,10	+0,32
Huacho	1989-2010	15,07	-0,07
Callao	1981-2010	14,47	-0,35
Pisco	1982-2010	19,70	+0,07
Atico	2015-2016	15,20	
Matarani	2013-2016	14,80	
Ilo	1981-2010	15,33	+0,04



**Figura 5.** Variación del promedio diario de las anomalías de la temperatura superficial del mar (°C) en la red de estaciones costeras que administra IMARPE en el litoral peruano durante el último trimestre. Las anomalías se calcularon respecto del promedio climatológico pentadal (5 días) para el periodo que se indica en la Tabla 1. Datos y procesamiento: LHF/AFIOF/DGIOCC/IMARPE.

## REFERENCIAS

Bleck, R., 2002: An oceanic general circulation model framed in hybrid isopycnic-Cartesian coordinates. *Ocean Modeling*, 4, 55-88.

Donlon, C. J, M. Martin, J. Stark, J. Roberts-Jones, E. Fiedler, W. Wimmer, 2012: The Operational Sea Surface Temperature and Sea Ice Analysis (OSTIA) system. *Remote Sen. Env.*, 116, 140-158.

Halliwel, G. R., Jr., R. Bleck, and E. Chassignet, 1998: Atlantic Ocean simulations performed using a new hybridcoordinate ocean model. EOS, Fall 1998 AGU Meeting.

Halliwel, G .R, R. Bleck, E. P. Chassignet, and L.T. Smith, 2000: mixed layer model validation in Atlantic Ocean simulations using the Hybrid Coordinate Ocean Model (HYCOM). EOS, 80, OS304.

UK Met Office. 2012. GHRSSST Level 4 OSTIA Global Foundation Sea Surface Temperature Analysis (GDS version 2). Ver. 2.0. PO.DAAC, CA, USA. Dataset accessed [YYYY-MM-DD] at <http://dx.doi.org/10.5067/GHOST-4FK02>.



El contenido del Boletín se puede reproducir citándolo así: Boletín Diario de la Temperatura Superficial del Mar en el Litoral Peruano [online]. Callao, Instituto del Mar del Perú. Año 5, N° 299, 26 de octubre de 2018.  
[http://www.imarpe.pe/imarpe/index.php?id\\_seccion=1017802040000000000000](http://www.imarpe.pe/imarpe/index.php?id_seccion=1017802040000000000000).

© 2018 Instituto del Mar del Perú.  
Esquina Gamarra y General Valle, Chucuito, Callao - Perú.  
Hecho el Depósito Legal en la Biblioteca Nacional del Perú N°2016-02931.

**Consultas:** Productos y Servicios Oceanográficos/AFIOF/DGIOCC/IMARPE.  
Correo electrónico: [lhfm\\_productos@imarpe.gob.pe](mailto:lhfm_productos@imarpe.gob.pe).  
Teléfono: (51 1) 208 8650 (Extensión 828).

**Suscripciones:** Complete [este formulario](#).